



# FACULTAD DE INGENIERIA

Universidad de Buenos Aires

CIRCUITOS ELECTRÓNICOS II - 66.10

## Trabajo práctico N° 1A

---

### Análisis de fuente lineal

---

#### *Alumnos:*

IRUSTA Pablo                      Padrón N° 80171

[pabirus@gmail.com](mailto:pabirus@gmail.com)

LUNA Diego                        Padrón N° 75451

[diegorluna@gmail.com](mailto:diegorluna@gmail.com)

NIERO Adrián                      Padrón N° 80533

[adrianniero@gmail.com](mailto:adrianniero@gmail.com)

ROMERO Daniel                    Padrón N° 69456

[danielosrom@gmail.com](mailto:danielosrom@gmail.com)

#### *Docentes:*

Ing. BERTUCCIO José Alberto

Ing. ACQUATICCI Fabián

Ing. MARCHI Edgardo

Ing. BULACIO Matías

Ing. D'ANGIOLO Federico

Ing. GAMEZ Pablo

13 de abril de 2019



# Índice

<b>Índice</b>	<b>I</b>
<b>1. Objetivos</b>	<b>1</b>
1.1. Resumen de objetivos . . . . .	1
1.2. Desarrollo . . . . .	1
<b>2. Análisis cualitativo</b>	<b>3</b>
2.1. Secciones del circuito . . . . .	3
<b>3. Punto de reposo</b>	<b>4</b>
<b>4. Análisis de la ganancia a lazo abierto en regulación de tensión (bajas\medias frecuencias)</b>	<b>5</b>
4.1. Análisis de la ganancia de la etapa diferencial, $Q_{12}/Q_{13}$ . . . . .	5
4.1.1. Análisis de la fuente espejo . . . . .	5
4.1.2. Ganancia de tensión . . . . .	5
4.1.3. Resistencia de entrada . . . . .	5
4.1.4. Resistencia de salida . . . . .	5
4.2. Análisis de la ganancia del seguidor por emisor, $Q_3$ . . . . .	5
4.2.1. Análisis de la fuente de corriente . . . . .	5
4.2.2. Ganancia de tensión . . . . .	5
4.2.3. Resistencia de entrada . . . . .	5
4.2.4. Resistencia de salida . . . . .	5
4.3. Análisis de la ganancia de la etapa del par compuesto (Sziklai), $Q_4/Q_5$ . . . . .	5
4.3.1. Ganancia de tensión . . . . .	5
4.3.2. Resistencia de entrada . . . . .	5
4.3.3. Resistencia de salida . . . . .	5
<b>5. Análisis del camino de realimentación de tensión</b>	<b>6</b>
5.1. Análisis de la ganancia del seguidor por emisor, $Q_{10}$ . . . . .	6
5.2. Análisis de la resistencia de entrada del seguidor por emisor, $Q_{10}$ . . . . .	6
5.3. Análisis de la resistencia de salida del seguidor por emisor, $Q_{10}$ . . . . .	6
5.4. Análisis de la ganancia del seguidor por emisor, $Q_9$ . . . . .	6
5.5. Análisis de la resistencia de entrada del seguidor por emisor, $Q_9$ . . . . .	6
5.6. Análisis de la resistencia de salida del seguidor por emisor, $Q_9$ . . . . .	6
5.7. Análisis del divisor resistivo de realimentación $R_9/R_{10}$ . . . . .	6
5.8. Cálculo de la transferencia del realimentador serie-serie . . . . .	6
5.9. Cálculo de la ganancia de lazo para el lazo de corriente . . . . .	6
5.10. Diagrama completo del circuito realimentado . . . . .	6
5.11. Cálculo de la resistencia de salida a lazo abierto . . . . .	6
5.12. Cálculo de la tensión de salida a lazo cerrado . . . . .	6
5.13. Cálculo de la resistencia de salida a lazo cerrado . . . . .	6

<b>6. Análisis de la ganancia a lazo abierto en regulación de corriente (bajas\medias frecuencias)</b>	<b>7</b>
6.1. Análisis de la ganancia de la etapa diferencial, $Q_{12}/Q_{13}$	7
6.1.1. Análisis de la fuente espejo	7
6.1.2. Ganancia de tensión	7
6.1.3. Resistencia de entrada	7
6.1.4. Resistencia de salida	7
6.2. Análisis de la ganancia del seguidor por emisor, $Q_3$	7
6.2.1. Análisis de la fuente de corriente	7
6.2.2. Ganancia de tensión	7
6.2.3. Resistencia de entrada	7
6.2.4. Resistencia de salida	7
6.3. Análisis de la ganancia de la etapa del par compuesto (Sziklai), $Q_4/Q_5$	7
6.3.1. Ganancia de tensión	7
6.3.2. Resistencia de entrada	7
6.3.3. Resistencia de salida	7
<b>7. Análisis del camino de realimentación de corriente</b>	<b>8</b>
7.1. Análisis de la ganancia de la etapa en seguidor por emisor, $Q_{11}$	8
7.2. Análisis de la resistencia de entrada del seguidor por emisor, $Q_{11}$	8
7.3. Análisis de la resistencia de salida del seguidor por emisor, $Q_{11}$	8
7.4. Análisis de la ganancia del seguidor por emisor, $Q_7$	8
7.5. Análisis de la resistencia de entrada del seguidor por emisor, $Q_7$	8
7.6. Análisis de la resistencia de salida del seguidor por emisor, $Q_7$	8
7.7. Análisis del amplificador diferencial con operacional, $U_3A$	8
7.8. Análisis del amplificador no inversor con operacional, $U_3B$	8
7.9. Cálculo de la transferencia del realimentador serie-paralelo	8
7.10. Cálculo de la ganancia de lazo para el lazo de corriente	8
7.11. Diagrama completo del circuito realimentado	8
7.12. Cálculo de la resistencia de salida a lazo abierto	8
7.13. Cálculo de la corriente de salida a lazo cerrado	8
7.14. Cálculo de la resistencia de salida a lazo cerrado	8
<b>8. Respuestas a preguntas en el enunciado</b>	<b>9</b>
8.1. Punto 1	9
8.2. Punto 2	10
8.3. Punto 3	11
8.4. Punto 4	12
8.5. Punto 5	13
8.6. Punto 6	14
8.7. Punto 7	16
8.8. Punto 8	18
8.9. Punto 9	20

8.10. Punto 10 . . . . .	21
8.11. Punto 11 . . . . .	22
8.12. Punto 12 . . . . .	23
8.13. Punto 13 . . . . .	24
8.14. Punto 14 . . . . .	26
8.15. Punto 15 . . . . .	28
8.16. Punto 16 . . . . .	30
8.17. Punto 17 . . . . .	33
8.18. Punto 18 . . . . .	34
8.19. Punto 19 . . . . .	36
8.20. Punto 20 . . . . .	38
8.21. Punto 21 . . . . .	40
<b>9. Observaciones y conclusiones</b>	<b>41</b>
9.1. Observaciones y conclusiones . . . . .	41
<b>10. Bibliografía</b>	<b>43</b>
<b>Apéndices</b>	<b>45</b>
<b>A. Análisis teórico de subcircuitos</b>	<b>45</b>
A.1. Amplificadores con operacionales . . . . .	45
A.1.1. Amplificador no inversor . . . . .	45
A.1.2. Amplificador inversor . . . . .	45
A.1.3. Amplificador diferencial . . . . .	45
A.2. Par compuesto (Sziklai) . . . . .	46
A.3. Llave electrónica transparente . . . . .	47
<b>B. Hojas de datos</b>	<b>49</b>
B.1. TL431 . . . . .	49
B.2. TL082 . . . . .	49

## Índice de figuras

1.1. Circuito completo con las secciones indicadas. . . . .	2
8.1. Tensión de salida, $V_o$ , en función de $R_9$ , con esta variando entre $0\Omega$ y $90k\Omega$ . . . . .	15
8.2. Corriente máxima de salida, $I_o$ , en función de $R_{18}$ , con esta variando entre $0\Omega$ y $18k\Omega$ . . . . .	17
8.3. Tensión en las entradas del switch analógico y tensión de salida, en función de $R_L$ , con esta variando entre $100\Omega$ y $0\Omega$ . . . . .	19
8.4. Impedancia de salida, $Z_o$ , en función de la frecuencia, con esta variando entre $0,1Hz$ y $100kHz$ . . . . .	25
8.5. Impedancia de salida, $Z_o$ , en función de la frecuencia, con esta variando entre $0,1Hz$ y $100kHz$ . . . . .	27
8.6. Tensión de salida en función de la corriente de salida para $R_L$ variando entre $100\Omega$ y $0\Omega$ . . . . .	29
8.7. Circuito usado para la conmutación de la carga . . . . .	30
8.8. Tensión de salida frente a saltos de carga de $0A$ a $1A$ y de $1A$ a $0A$ . . . . .	31
8.9. Variación de la tensión de salida en los saltos de carga . . . . .	32
8.10. Tensión de salida vs tensión de entrada. . . . .	35
8.11. Tensión de salida vs tensión de entrada. . . . .	37
8.12. Rizado de entrada y salida. . . . .	39

## Índice de cuadros

3.1. Elementos del modelo de pequeña señal de los transistores en regulación de tensión ( $f_{(I_C)}$ ). . . . .	4
3.2. Elementos del modelo de pequeña señal de los transistores en regulación de corriente ( $f_{(I_C)}$ ). . . . .	4
8.1. Eficiencia en función de la tensión de entrada. . . . .	33





# 1. Objetivos

## 1.1. Resumen de objetivos

El trabajo práctico consiste en el análisis del circuito de una fuente de alimentación lineal realimentada. El análisis es por cálculo y por simulación con **SPICE** (**LTSPICE** específicamente en nuestro caso), de donde se pretende obtener una caracterización de la fuente de alimentación. Un detalle a mencionar es que los datos de las simulaciones se exportaron a archivos de texto con los datos crudos de las señales y se procesaron y graficaron en **MATLAB**, principalmente para mayor detalle y precisión en los gráficos, pero también nos simplificó los cálculos.

## 1.2. Desarrollo

Se hace un análisis cualitativo de la fuente para luego pasar a analizar las diferentes secciones del circuito, remitiendo a apartados donde sea necesario, para explicar conceptualmente algún subcircuito, luego haciendo una análisis de pequeña señal a frecuencias bajas y medias, para finalmente usando esta información, responder las preguntas propuestas en las consignas del trabajo práctico. En la figura [\[1.1\]](#) se muestra el circuito completo usado para la simulación donde se puede ver las subsecciones que se analizarán, en el mismo también se muestran los puntos de reposo obtenidos para una condición particular de carga.

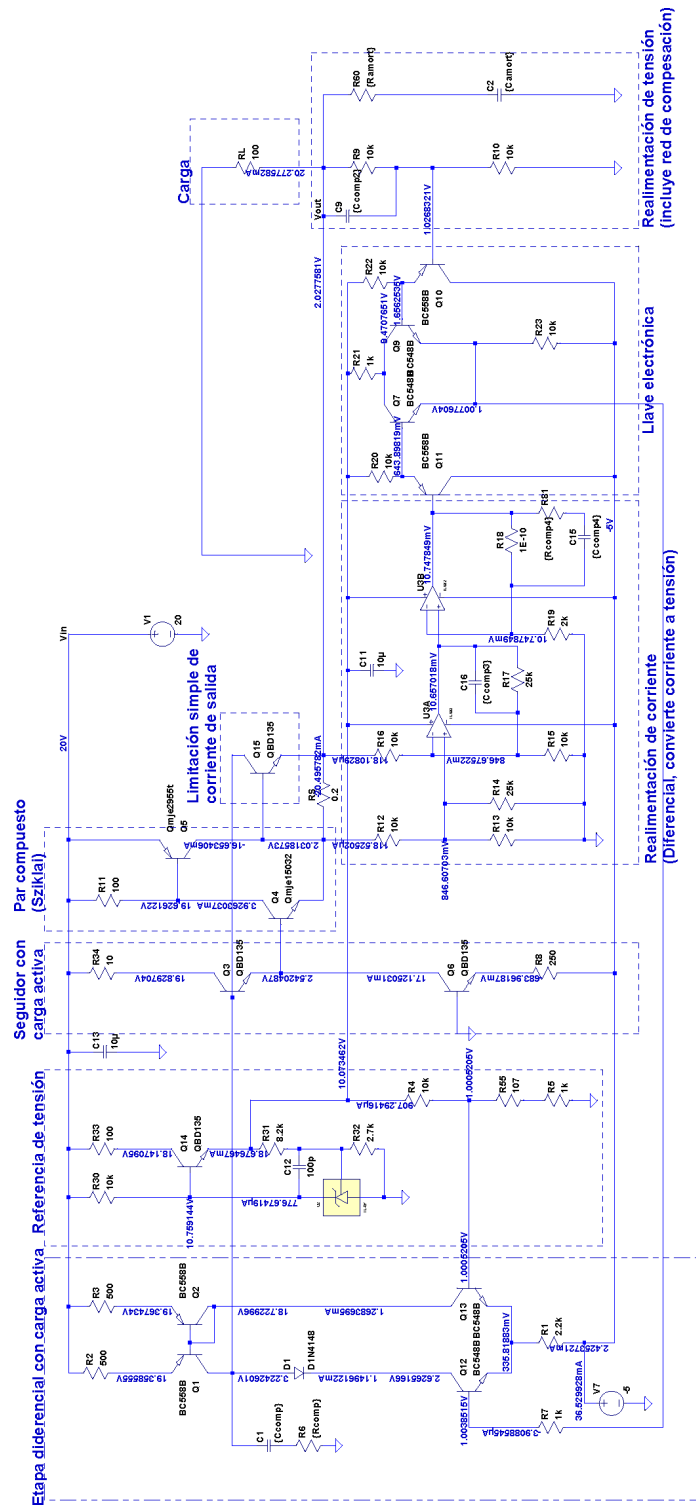


Figura 1.1: Circuito completo con las secciones indicadas.

## 2. Análisis cualitativo

### 2.1. Secciones del circuito

La topología del circuito corresponde a la de un típico amplificador de potencia de tres etapas realimentado, donde la “señal” a amplificar es una referencia de tensión, armada en torno a una referencia de tensión comercial, el **TL431**, la tensión de salida es muestreada y sumada a la entrada, formando un lazo de realimentación **serie-paralelo**, estabilizando la tensión de salida, el resultado de esta configuración es una fuente de tensión regulada. El circuito además posee un segundo lazo de realimentación, donde se muestrea la corriente de salida, se convierte a tensión y se suma a la entrada, formando un lazo de realimentación **serie-serie**, estabilizando la corriente de salida. El circuito trabaja con solo uno de los lazos de realimentación funcionando en un dado momento, el switcheo de uno a otro, se realiza en forma automática, con un subcircuito dedicado, según sea el estado de carga, el amplificador de potencia es el mismo en ambos lazos, solo cambia la red de realimentación. El circuito además cuenta con una limitación extra de corriente que actúa únicamente durante transitorios, además el circuito se encuentra compensado en frecuencia en ambos lazos (tema de la segunda parte del trabajo práctico). En el circuito se pueden diferenciar claramente las secciones que se marcan en la figura [\[1.1\]](#), las mismas son:

- Amplificador diferencial con carga activa: realiza la suma (resta) de la señal realimentada y provee amplificación.
- Referencia de tensión: Provee una tensión estable de referencia de aproximadamente 1V y además provee alimentación para algunas partes del circuito (10V).
- Seguidor con carga activa: Provee adaptación de impedancia entre la primera y la tercera etapa.
- Par compuesto (Sziklai): Maneja la corriente de salida, presentando a la carga una muy baja impedancia y una alta impedancia a la segunda etapa.
- Limitación de corriente simple: Formada solo por un transistor que limita durante transitorios, simplemente deriva corriente de la base del seguidor (segunda etapa).
- Llave analógica: Hace el switcheo automático entre los lazos de tensión y corriente, es prácticamente transparente a fines prácticos.
- Realimentación de tensión: Red de muestreo y realimentación de tensión (la mitad de la llave forma parte de la misma).
- Realimentación de corriente: Red de muestreo y realimentación de corriente (la mitad de la llave forma parte de la misma).

### 3. Punto de reposo

Se hizo inicialmente un cálculo del punto de reposo en forma manual para la fuente de alimentación en regulación de tensión y de corriente, pero los valores obtenidos, a pesar de ser lógicos, diferían bastante respecto de la simulación, en particular, como es de esperarse, la etapa diferencial, por lo tanto se decidió utilizar los valores obtenidos de la simulación para los puntos de trabajo y los elementos del modelo de pequeña señal de cada dispositivo activo. A continuación en los cuadros [3.1] y [3.2] se resumen los valores obtenidos para todos los transistores en el caso de regulación de tensión ( $R_L = 100\Omega$ ) y regulación de corriente ( $R_L = 0\Omega$ ) respectivamente.

	Q1	Q2	Q3	Q4	Q5	Q6	Q9	Q10	Q12	Q13	Q14
$I_C$ [mA]	1.28	1.26	17	3.93	16.7	17.1	0.603	0.837	1.15	1.27	18.5
$gm$ [A/V]	4.89e-2	4.79e-2	6.58e-1	1.21e-1	7.43e-1	6.62e-1	2.32e-2	3.2e-2	4.39e-2	4.85e-2	7.15e-1
$r_\pi$ [ $\Omega$ ]	8.08 k	5.74 k	197	927	189	184	14.5 k	10.1 k	7.21 k	8.12 k	174
$r_o$ [ $\Omega$ ]	40.7 k	28.9 k	13.9 k	10.5 k	2.1 k	13 k	117 k	50.9 k	56 k	63.5 k	12.3 k
$\beta$	395	275	130	112	140	122	335	324	316	394	124

**Cuadro 3.1:** Elementos del modelo de pequeña señal de los transistores en regulación de tensión ( $f_{(I_C)}$ ).

El par de transistores transistores  $Q_7/Q_{11}$  no se considera por estar  $Q_7$  cortado, lo mismo para el transistor  $Q_{15}$ , en el punto correspondiere se explica las razones y el funcionamiento del subcircuito.

	Q1	Q2	Q3	Q4	Q5	Q6	Q7	Q11	Q12	Q13	Q14
$I_C$ [mA]	1.28	1.26	17.2	19.7	2040	17.1	0.603	0.837	1.15	1.27	18.5
$gm$ [A/V]	4.9e-2	4.79e-2	6.64e-1	6.07e-1	54.3	6.62e-1	2.32e-2	3.2e-2	4.39e-2	4.85e-2	7.15e-1
$r_\pi$ [ $\Omega$ ]	8.32 k	5.75 k	197	186	2.11	183	14.5 k	10.1 k	7.21 k	8.12 k	174
$r_o$ [ $\Omega$ ]	41.8 k	29 k	13.9 k	2.12 k	17.9 k	12.9 k	117 k	50.9 k	56 k	63.5 k	12.3 k
$\beta$	407	275	131	113	115	121	335	324	316	394	124

**Cuadro 3.2:** Elementos del modelo de pequeña señal de los transistores en regulación de corriente ( $f_{(I_C)}$ ).

El par de transistores transistores  $Q_9/Q_{10}$  no se considera por estar  $Q_9$  cortado, lo mismo para el transistor  $Q_{15}$ , ídem al caso anterior. El diodo  $D_1$  presenta una resistencia dinámica equivalente de  $r_{d_{D_1}} = 46,8\Omega$  en ambos casos, también presenta una capacidad equivalente que no es considerada para el reposo (pero es importante en su funcionamiento dinámico).

Algo importante a observar es la perfecta inversión de los puntos de reposo de los pares de transistores  $Q_9/Q_{10}$  y  $Q_7/Q_{11}$ , sus puntos de reposo son idénticos al estar activos en el correspondiente lazo de realimentación, se explica en detalle mas adelante. El transistor  $Q_{15}$  solo conduce por breves períodos de tiempo al limitar picos de corriente, en estado estacionario siempre está cortado.

## 4. Análisis de la ganancia a lazo abierto en regulación de tensión (bajas\medias frecuencias)

### 4.1. Análisis de la ganancia de la etapa diferencial, $Q_{12}/Q_{13}$

#### 4.1.1. Análisis de la fuente espejo

#### 4.1.2. Ganancia de tensión

#### 4.1.3. Resistencia de entrada

#### 4.1.4. Resistencia de salida

### 4.2. Análisis de la ganancia del seguidor por emisor, $Q_3$

#### 4.2.1. Análisis de la fuente de corriente

#### 4.2.2. Ganancia de tensión

#### 4.2.3. Resistencia de entrada

#### 4.2.4. Resistencia de salida

### 4.3. Análisis de la ganancia de la etapa del par compuesto (Sziklai), $Q_4/Q_5$

#### 4.3.1. Ganancia de tensión

#### 4.3.2. Resistencia de entrada

#### 4.3.3. Resistencia de salida

## 5. Análisis del camino de realimentación de tensión

- 5.1. Análisis de la ganancia del seguidor por emisor,  $Q_{10}$
- 5.2. Análisis de la resistencia de entrada del seguidor por emisor,  $Q_{10}$
- 5.3. Análisis de la resistencia de salida del seguidor por emisor,  $Q_{10}$
- 5.4. Análisis de la ganancia del seguidor por emisor,  $Q_9$
- 5.5. Análisis de la resistencia de entrada del seguidor por emisor,  $Q_9$
- 5.6. Análisis de la resistencia de salida del seguidor por emisor,  $Q_9$
- 5.7. Análisis del divisor resistivo de realimentación  $R_9/R_{10}$
- 5.8. Cálculo de la transferencia del realimentador serie-serie
- 5.9. Cálculo de la ganancia de lazo para el lazo de corriente
- 5.10. Diagrama completo del circuito realimentado
- 5.11. Cálculo de la resistencia de salida a lazo abierto
- 5.12. Cálculo de la tensión de salida a lazo cerrado
- 5.13. Cálculo de la resistencia de salida a lazo cerrado

## 6. Análisis de la ganancia a lazo abierto en regulación de corriente (bajas\medias frecuencias)

### 6.1. Análisis de la ganancia de la etapa diferencial, $Q_{12}/Q_{13}$

#### 6.1.1. Análisis de la fuente espejo

#### 6.1.2. Ganancia de tensión

#### 6.1.3. Resistencia de entrada

#### 6.1.4. Resistencia de salida

### 6.2. Análisis de la ganancia del seguidor por emisor, $Q_3$

#### 6.2.1. Análisis de la fuente de corriente

#### 6.2.2. Ganancia de tensión

#### 6.2.3. Resistencia de entrada

#### 6.2.4. Resistencia de salida

### 6.3. Análisis de la ganancia de la etapa del par compuesto (Sziklai), $Q_4/Q_5$

#### 6.3.1. Ganancia de tensión

#### 6.3.2. Resistencia de entrada

#### 6.3.3. Resistencia de salida

## 7. Análisis del camino de realimentación de corriente

- 7.1. Análisis de la ganancia de la etapa en seguidor por emisor,  $Q_{11}$
- 7.2. Análisis de la resistencia de entrada del seguidor por emisor,  $Q_{11}$
- 7.3. Análisis de la resistencia de salida del seguidor por emisor,  $Q_{11}$
- 7.4. Análisis de la ganancia del seguidor por emisor,  $Q_7$
- 7.5. Análisis de la resistencia de entrada del seguidor por emisor,  $Q_7$
- 7.6. Análisis de la resistencia de salida del seguidor por emisor,  $Q_7$
- 7.7. Análisis del amplificador diferencial con operacional,  $U_3A$
- 7.8. Análisis del amplificador no inversor con operacional,  $U_3B$
- 7.9. Cálculo de la transferencia del realimentador serie-paralelo
- 7.10. Cálculo de la ganancia de lazo para el lazo de corriente
- 7.11. Diagrama completo del circuito realimentado
- 7.12. Cálculo de la resistencia de salida a lazo abierto
- 7.13. Cálculo de la corriente de salida a lazo cerrado
- 7.14. Cálculo de la resistencia de salida a lazo cerrado



## 8. Respuestas a preguntas en el enunciado

### 8.1. Punto 1

**Enunciado:** *Analizar que función cumple y como opera el subcircuito compuesto por  $R_{12}$  a  $R_{17}$ ,  $C_{16}$  y  $U_3A$ . Luego incluir  $R_S$ . ¿Qué características tiene éste subcircuito, por ejemplo, su transferencia, su ancho de banda, su dependencia de las especificaciones del amplificador operacional TL082, de sus fuentes de alimentación, de la temperatura, de la tolerancia y tecnología de los resistores con los que se lo implemente, etc.*

**COMPLETAR!!**

## 8.2. Punto 2

**Enunciado:** *Analizar qué función cumple y como opera el subcircuito compuesto por  $R_{18}$  a  $R_{19}$ ,  $C_{15}$  y  $U_3B$ . ¿Qué características tiene éste subcircuito, por ejemplo, su transferencia, su ancho de banda, su dependencia de las especificaciones del amplificador operacional TL082, de sus fuentes de alimentación, de la temperatura, de la tolerancia y tecnología de los resistores con lo que se lo implemente, etc. ( $R_{18}$  puede variarse desde  $0\Omega$  a  $18k\Omega$ ).*

**COMPLETAR!!**

**8.3. Punto 3**

**Enunciado:** *Analizar qué función cumple y cómo opera el subcircuito compuesto por  $R_{20}$  a  $R_{23}$  y  $Q_7$ - $Q_9$ - $Q_{10}$ - $Q_{11}$ . ¿Qué características tiene éste subcircuito?.*

**COMPLETAR!!**

#### 8.4. Punto 4

**Enunciado:** *Analizar el subcircuito que proporciona la tensión de referencia. ¿Cómo funciona y qué características tiene? Por ejemplo: hallar por cálculo y por simulación el valor de la tensión de referencia y su dependencia de la variación de la tensión de entrada  $V_1$ , de la temperatura ambiente y de la corriente que pueda entregar éste subcircuito a otros subcircuitos que alimente. Consultar las hojas de datos de todos sus componentes, en especial el TL431.*

**COMPLETAR!!**

### 8.5. Punto 5

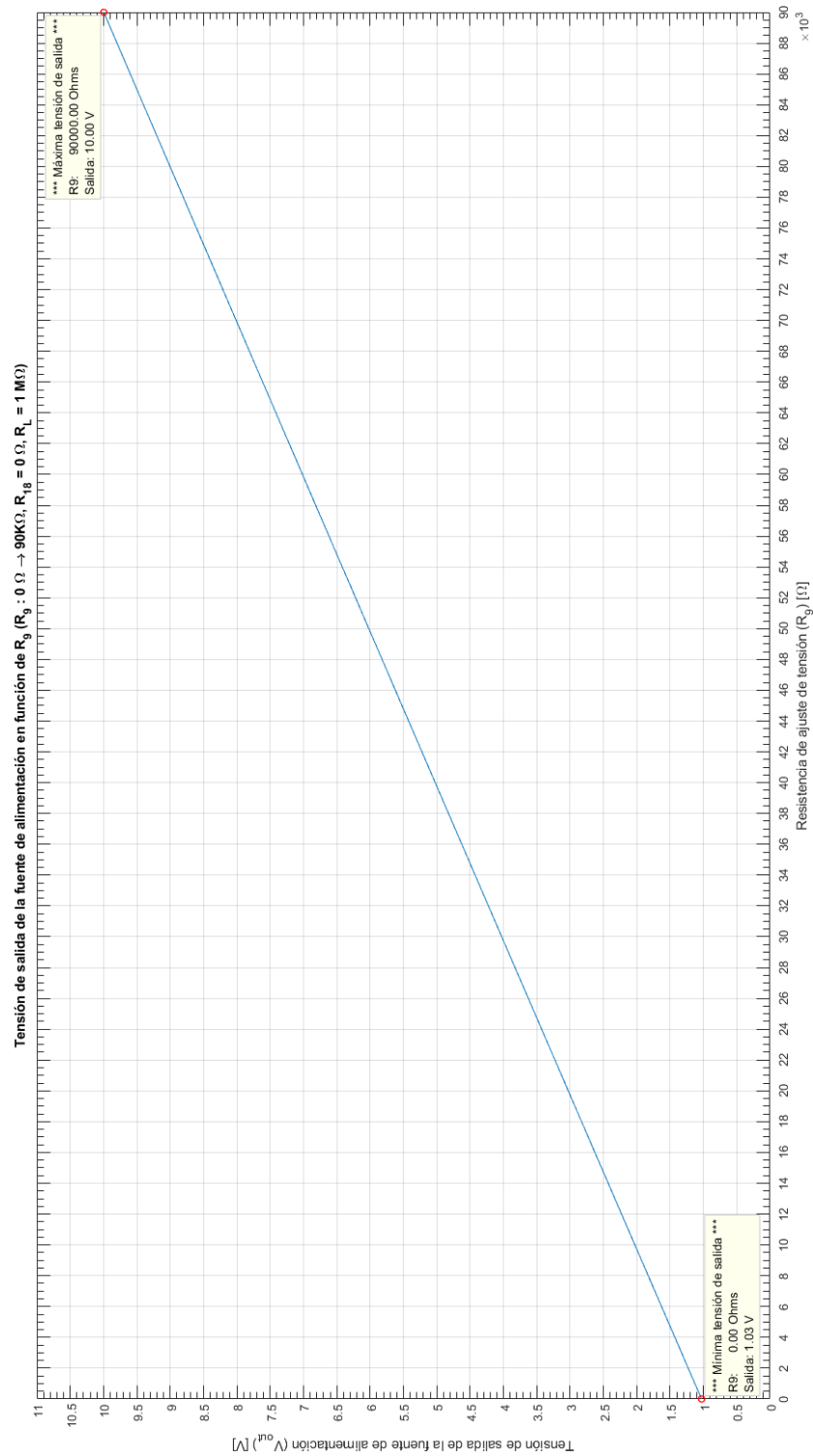
**Enunciado:** *Analizar el subcircuito compuesto por  $Q_4$  y  $Q_5$ . Por ejemplo: con que nombre es conocida su topología, comprobar si es una topología que emplea realimentación, qué características funcionales tiene este subcircuito, que valores de impedancia presente a los otros circuitos que alimente, cual es la transferencia de este subcircuito (variable de salida / variable de entrada), cuál es su ancho de banda, etc.*

**COMPLETAR!!**

## 8.6. Punto 6

**Enunciado:** *¿Cuál es el rango de la tensión de salida de la fuente considerando que  $R_9$  puede variar desde  $0\Omega$  a  $90k\Omega$ ? (Tomar  $R_L = 1M\Omega$ ).*

En la figura [\[8.1\]](#) se muestra el gráfico de la tensión de salida en modo de regulación de tensión en función de la resistencia del resistor  $R_9$ , el gráfico se obtuvo realizando una simulación paramétrica con  $R_L = 1M\Omega$ , con el comando **SPICE** *.step*, y luego se exportó el resultado y se graficó en **MATLAB**. En el gráfico se puede apreciar que, como se espera según lo calculado, el crecimiento es lineal con  $R_9$ , entre valores muy cercanos a los nominales de 1V y 10V.



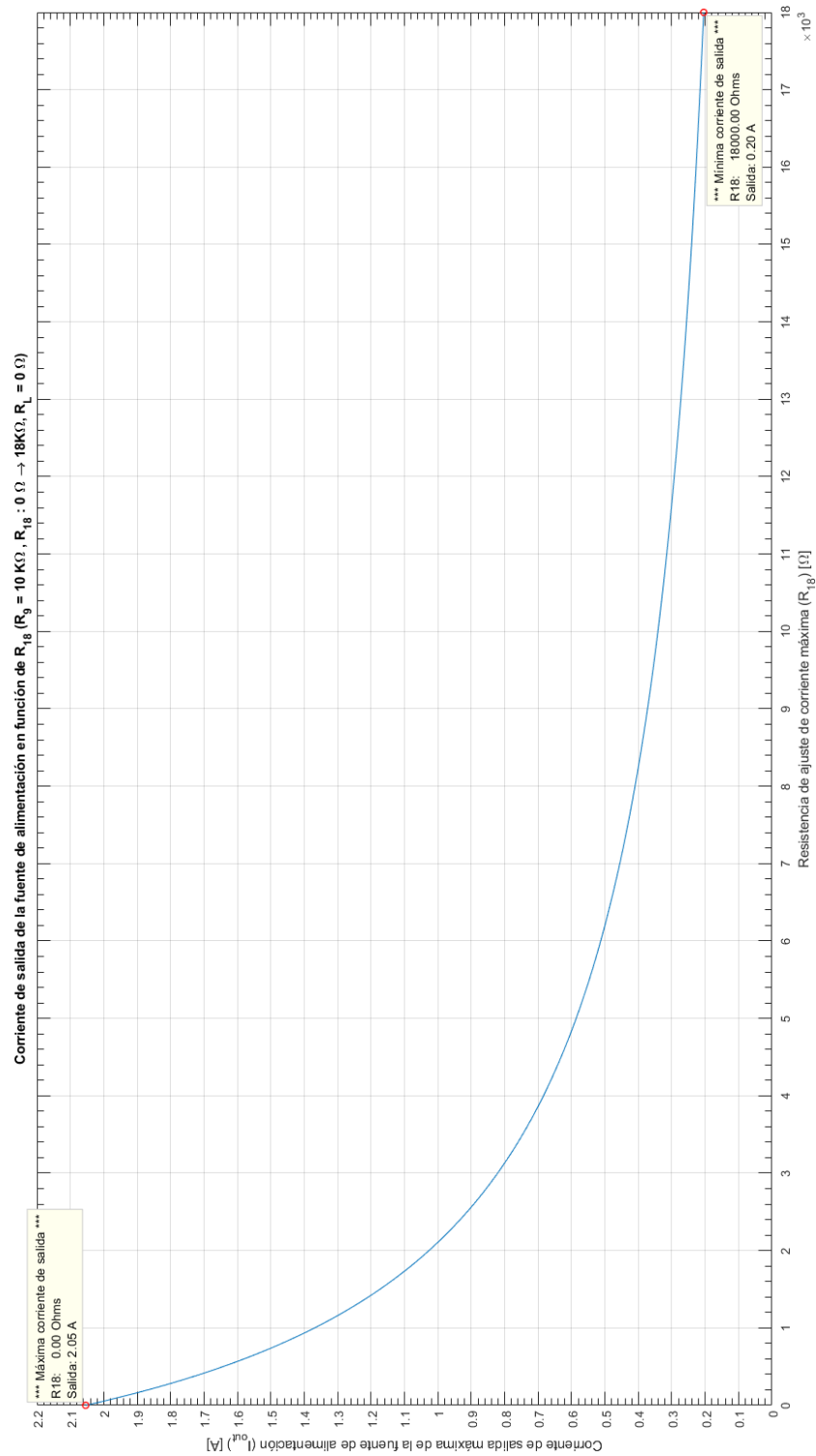
**Figura 8.1:** Tensión de salida,  $V_o$ , en función de  $R_9$ , con esta variando entre  $0\Omega$  y  $90k\Omega$ .

### 8.7. Punto 7

**Enunciado:** *¿Cuál es el rango la corriente de salida de la fuente considerando que  $R_{18}$  puede variar desde  $0\Omega$  a  $18k\Omega$ ? (Tomar  $R_L = 0\Omega$ ).*

En la figura [8.2] se muestra el gráfico de la corriente de salida en modo de regulación de corriente en función de la resistencia del resistor  $R_{18}$ , el gráfico se obtuvo realizando una simulación paramétrica con  $R_L = 0\Omega$ , con el comando **SPICE** *.step*, y luego se exportó el resultado y se graficó en **MATLAB**. En el gráfico se puede apreciar que, como se espera según lo calculado, se obtiene una hipérbola, entre valores muy cercanos a los nominales de 2A y 200mA.



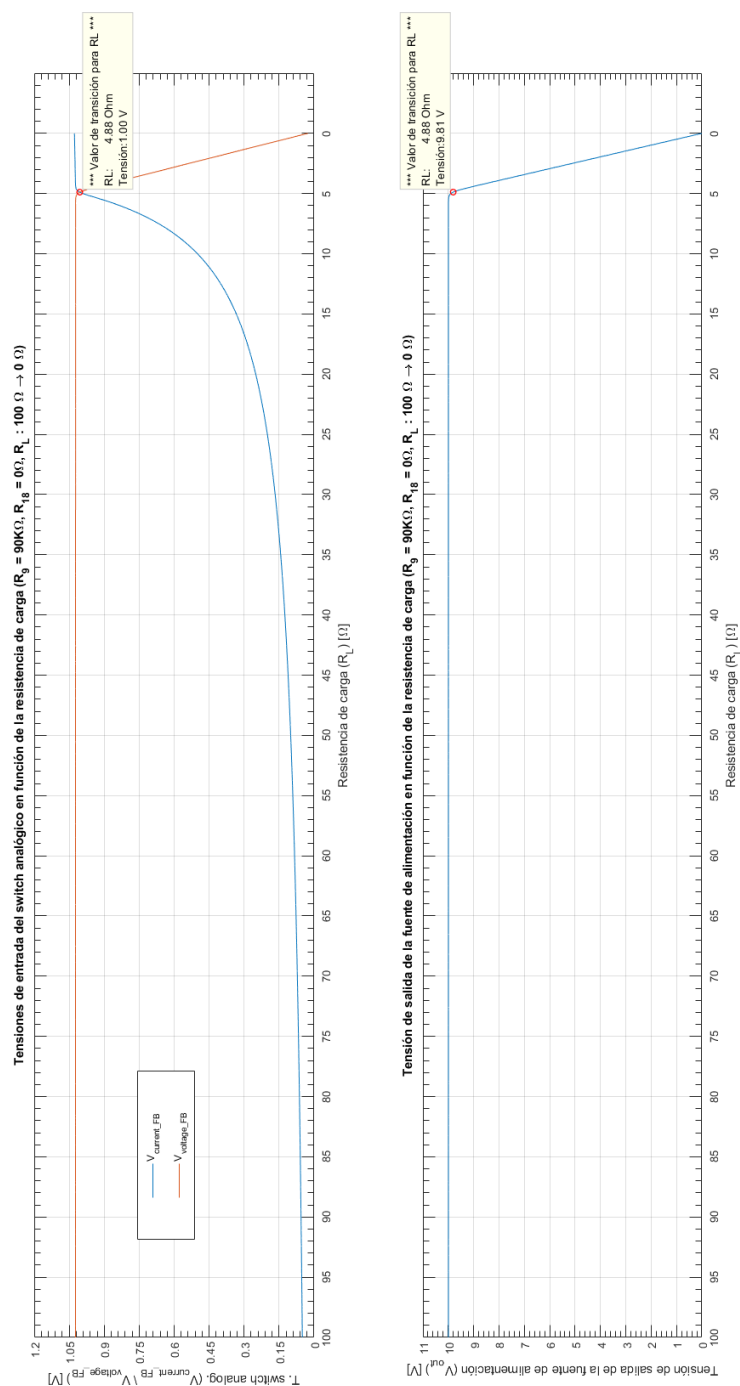


**Figura 8.2:** Corriente máxima de salida,  $I_o$ , en función de  $R_{18}$ , con esta variando entre  $0\Omega$  y  $18\text{k}\Omega$ .

## 8.8. Punto 8

**Enunciado:** ¿Cuál es el valor de la resistencia de carga  $R_L$  que impone el límite entre el modo fuente de tensión y fuente de corriente para  $R_9 = 90\text{k}\Omega$  y  $R_{18} = 0\Omega$ ?

En la figura [8.3] se muestra el gráfico de la tensión en las entradas de la llave analógica en función de la resistencia de carga  $R_L$ , el gráfico se obtuvo realizando una simulación paramétrica, con el comando **SPICE .step**, y luego se exportó el resultado y se procesó y graficó en **MATLAB**. En el gráfico se puede apreciar que está marcado el valor donde se cruzan los valores de tensión en las entradas de la llave, 1V, el valor de resistencia de carga al que se produce este cruce, se asumió como el valor de transición, el valor obtenido es de  $4,88\Omega$ . Se graficó también en la misma escala la tensión de salida en función de la resistencia de carga, donde también se marcó el valor al que se produce la transición, se produce a un valor de tensión de salida de 9,81V, el valor nominal esperado es de 10V.



**Figura 8.3:** Tensión en las entradas del switch analógico y tensión de salida, en función de  $R_L$ , con esta variando entre  $100\Omega$  y  $0\Omega$ .

### 8.9. Punto 9

**Enunciado:** *¿Qué hace (o para que está) cada componente, o sea, que función cumple en el circuito y justificar el valor de cada resistencia, diodo, transistor, etc?*

*En particular, respecto de la pregunta anterior, explicar que función realiza  $D_1$  y justificar la elección de su designación como 1N4148.*

**COMPLETAR!!**

**8.10. Punto 10**

**Enunciado:** *¿Qué tecnología, tolerancia, capacidad de disipación de potencia, estabilidad con la temperatura, tensión y corriente de operación máxima y pulsante, características mecánicas, apartamiento de su valor nominal por envejecimiento, etc, debe tener cada componente considerando una implementación física de éste circuito?.*

**COMPLETAR!!**

**8.11. Punto 11**

**Enunciado:** *Calcular la ganancia de lazo “af” para el lazo de tensión y para el lazo de corriente, comparando en ambos casos con respecto a 1, o sea, ¿Resulta “af” mucho mayor que 1? Considerar esto para frecuencias del orden de entre 0Hz y 100Hz.*

**COMPLETAR!!**

**8.12. Punto 12**

**Enunciado:** *Calcular la impedancia de salida, o más propiamente la impedancia en el nodo de salida, para una carga de  $100\Omega$  y una frecuencia en el entorno a 50Hz. Utilizar para el cálculo los mismo modelos utilizados en la pregunta anterior.*

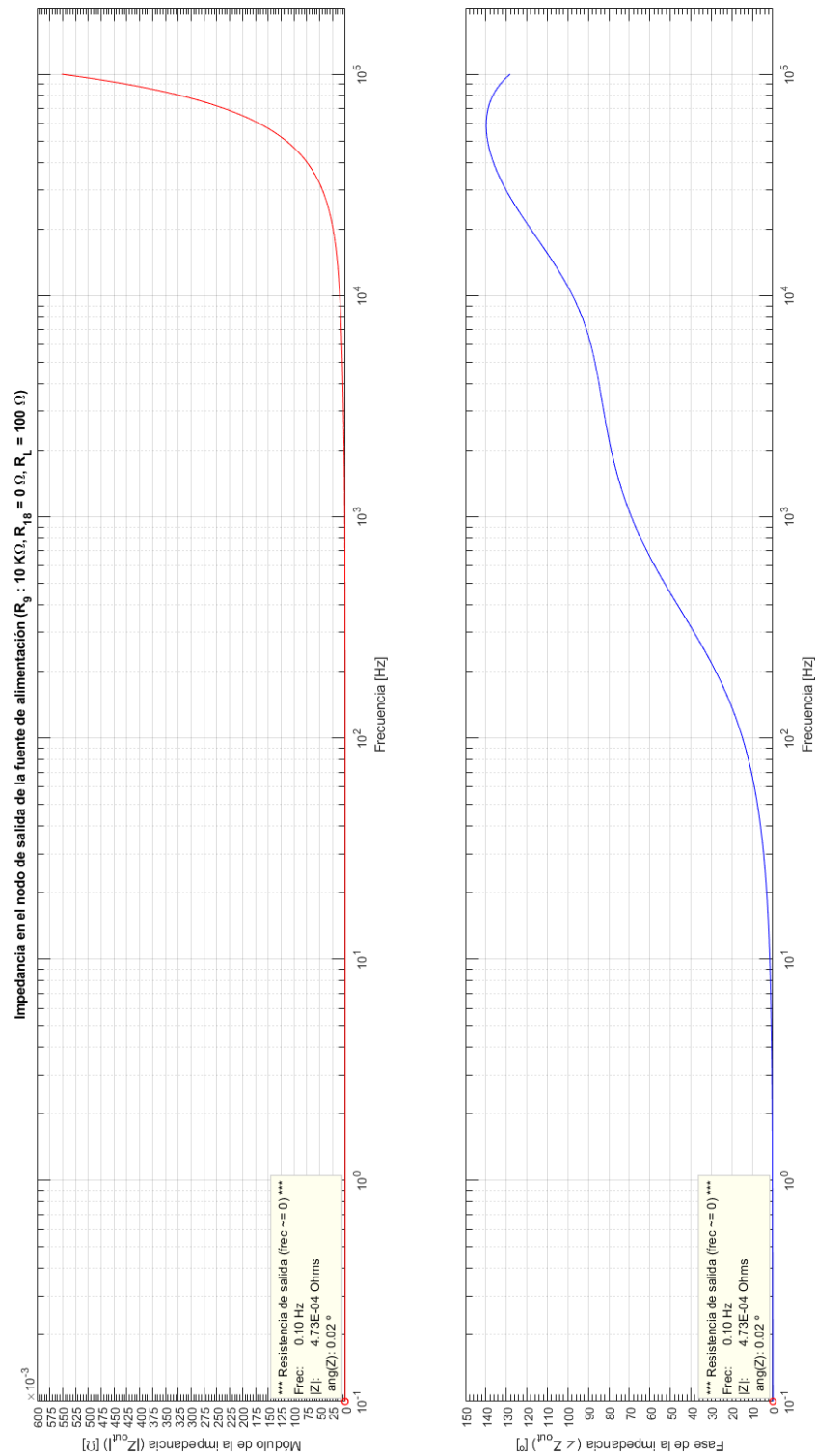
**COMPLETAR!!**

### 8.13. Punto 13

**Enunciado:** Hallar por simulación la impedancia del nodo de salida en función de la frecuencia para frecuencias desde 0,1Hz hasta 100kHz y con  $R_L = 100\Omega$ . Considerar  $R_9 = 10k\Omega$ .

En la figura [8.4] se muestra el gráfico de la impedancia en el nodo de salida en modo de regulación de tensión, el gráfico se obtuvo simulando en **SPICE** con  $R_L = 100\Omega$ , con una fuente de corriente de señal conectada en paralelo con la carga,  $I_p$ , realizando un barrido en alterna de 0,1Hz a 100kHz, con el comando **SPICE** `.ac`, y luego obteniendo el cociente  $\frac{V(I_p)}{I_p}$ , el resultado se exportó y se graficó en **MATLAB**, en escala semilogarítmica, su módulo y su fase, se destacó el resultado a bajas frecuencias que representa la resistencia de salida a frecuencia bajas/medias. El bajo valor obtenido para esta resistencia ( $473\mu\Omega$ ) implica que se trata de una buena fuente de tensión, que en el caso ideal tiene resistencia de salida de  $0\Omega$ , esto se debe a la gran ganancia de lazo en modo de regulación de tensión. Otra cosa que se puede observar es que al aumentar la frecuencia la impedancia aumenta, al caer la ganancia de lazo, y se torna inductiva, al menos hasta que la fase supera los  $90^\circ$ , esto parece indicar un efecto de resistencia negativa, la fuente entregaría energía de alterna (esto necesita mas análisis).





**Figura 8.4:** Impedancia de salida,  $Z_o$ , en función de la frecuencia, con esta variando entre 0,1Hz y 100kHz.

### 8.14. Punto 14

**Enunciado:** *Hallar por simulación la impedancia de la malla de salida en función de la frecuencia para frecuencias desde 0,1Hz hasta 100kHz y con  $R_L = 0\Omega$ . Considerar  $R_{18} = 0\Omega$ .*

En la figura [8.5] se muestra el gráfico de la impedancia en el nodo de salida en modo de regulación de corriente, el gráfico se obtuvo simulando en **SPICE** con la salida cortocircuitada a través de una fuente de tensión de señal,  $V_p$ , realizando un barrido en alterna de 0,1Hz a 100kHz, con el comando **SPICE .ac**, y luego obteniendo el cociente  $\frac{V_p}{I(V_p)}$ , el resultado se exportó y se graficó en **MATLAB**, en escala semilogarítmica, su módulo y su fase, se destacó el resultado a bajas frecuencias que representa la resistencia de salida a frecuencia bajas/medias. El bajo valor obtenido para esta resistencia ( $958\Omega$ ) implica que no se trata de una buena fuente de corriente, que en el caso ideal tiene resistencia de salida  $\infty$ , esto se debe a la menor ganancia de lazo en modo regulación de corriente respecto al modo regulación tensión. Otra cosa que se puede observar es que al aumentar la frecuencia la impedancia disminuye, al caer la ganancia de lazo, y se torna capacitiva.

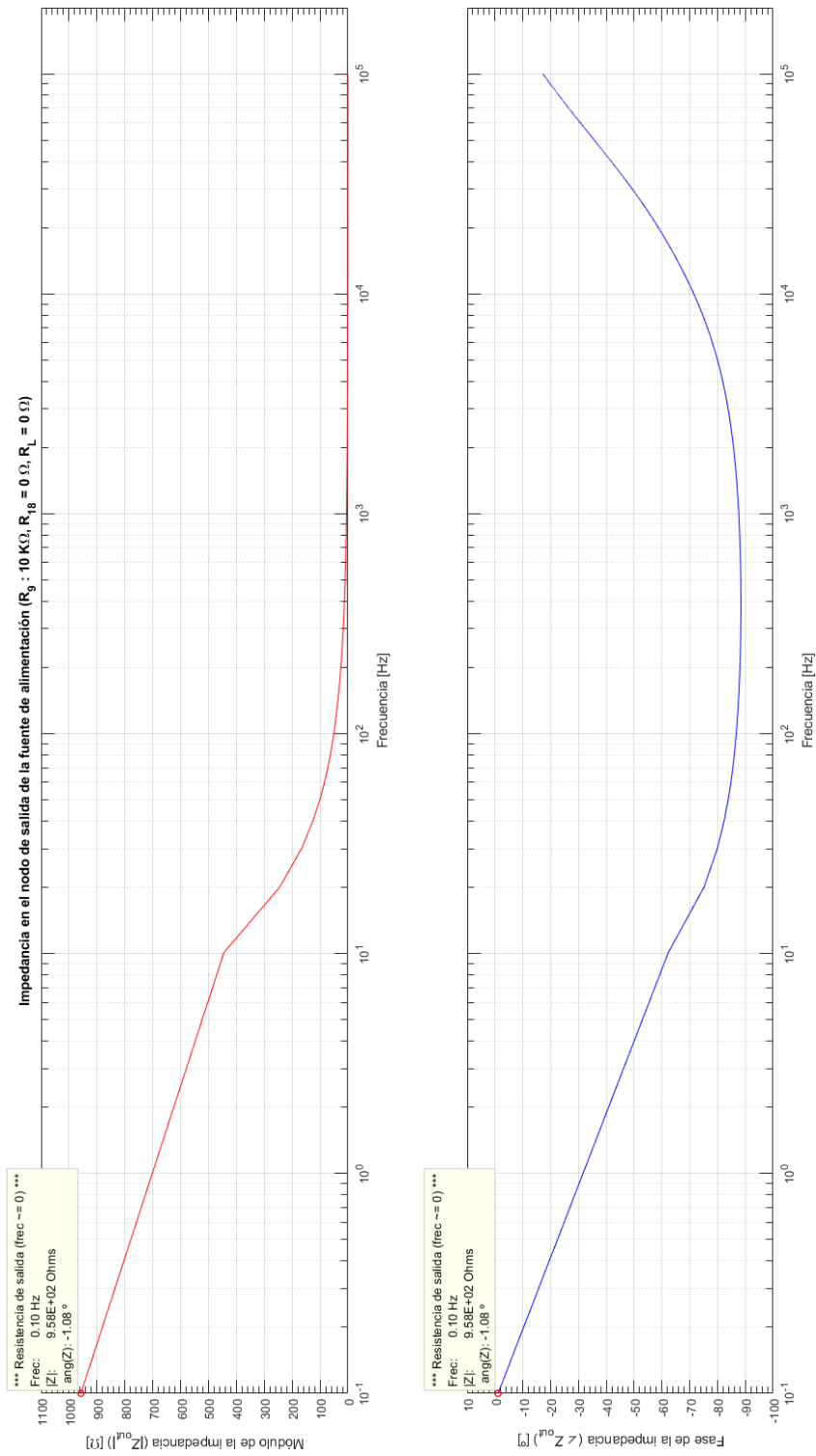
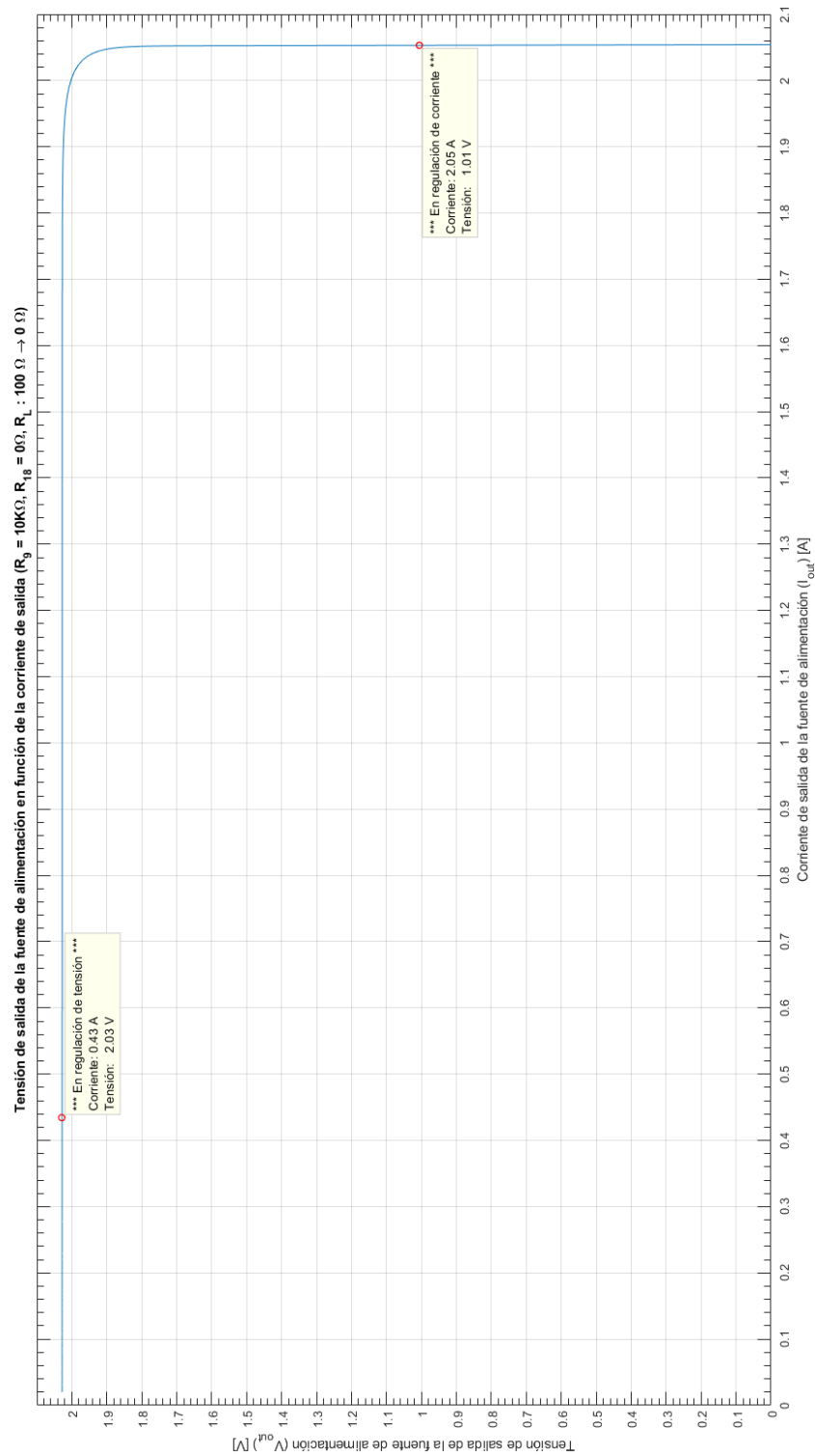


Figura 8.5: Impedancia de salida,  $Z_o$ , en función de la frecuencia, con esta variando entre 0,1Hz y 100kHz.

**8.15. Punto 15**

**Enunciado:** *Hallar por simulación la tensión del nodo de salida en función de la corriente de salida para  $R_L$  variando entre  $100\Omega$  y  $0\Omega$ . Considerar  $R_9 = 10k\Omega$  y  $R_{18} = 0\Omega$ .*

En la figura [\[8.6\]](#) se muestra la variación de la tensión de salida en función de la corriente de salida, se distinguen claramente y están marcadas, las regiones de regulación de tensión (la tensión nominal esperada es de 2V) y corriente (la corriente esperada es de 2A).



**Figura 8.6:** Tensión de salida en función de la corriente de salida para  $R_L$  variando entre  $100\Omega$  y  $0\Omega$ .

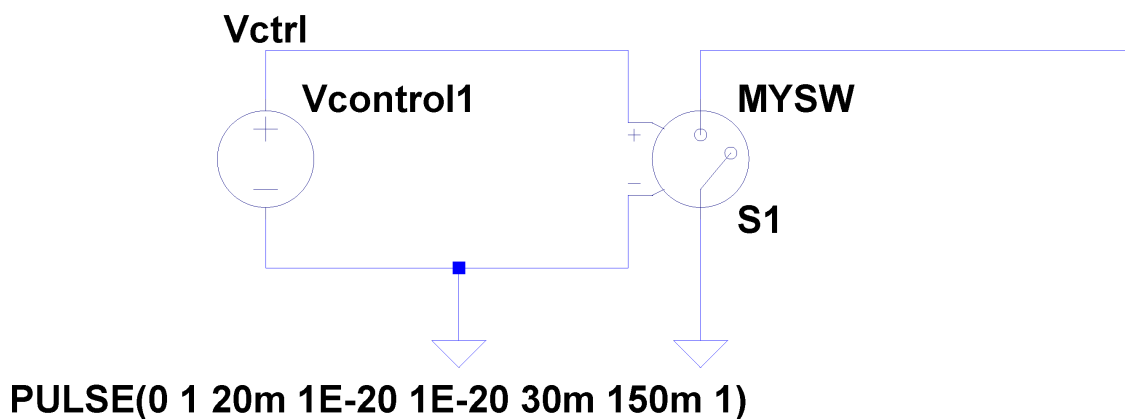
### 8.16. Punto 16

**Enunciado:** Hallar por simulación la variación de la tensión de salida en función del tiempo para un salto abrupto de la corriente de salida desde aproximadamente 0A hasta 1A y posteriormente un salto abrupto de la corriente de salida desde aproximadamente 1A hasta 0A. Considerar  $R_9 = 10\text{k}\Omega$  y  $R_{18} = 0\Omega$ .

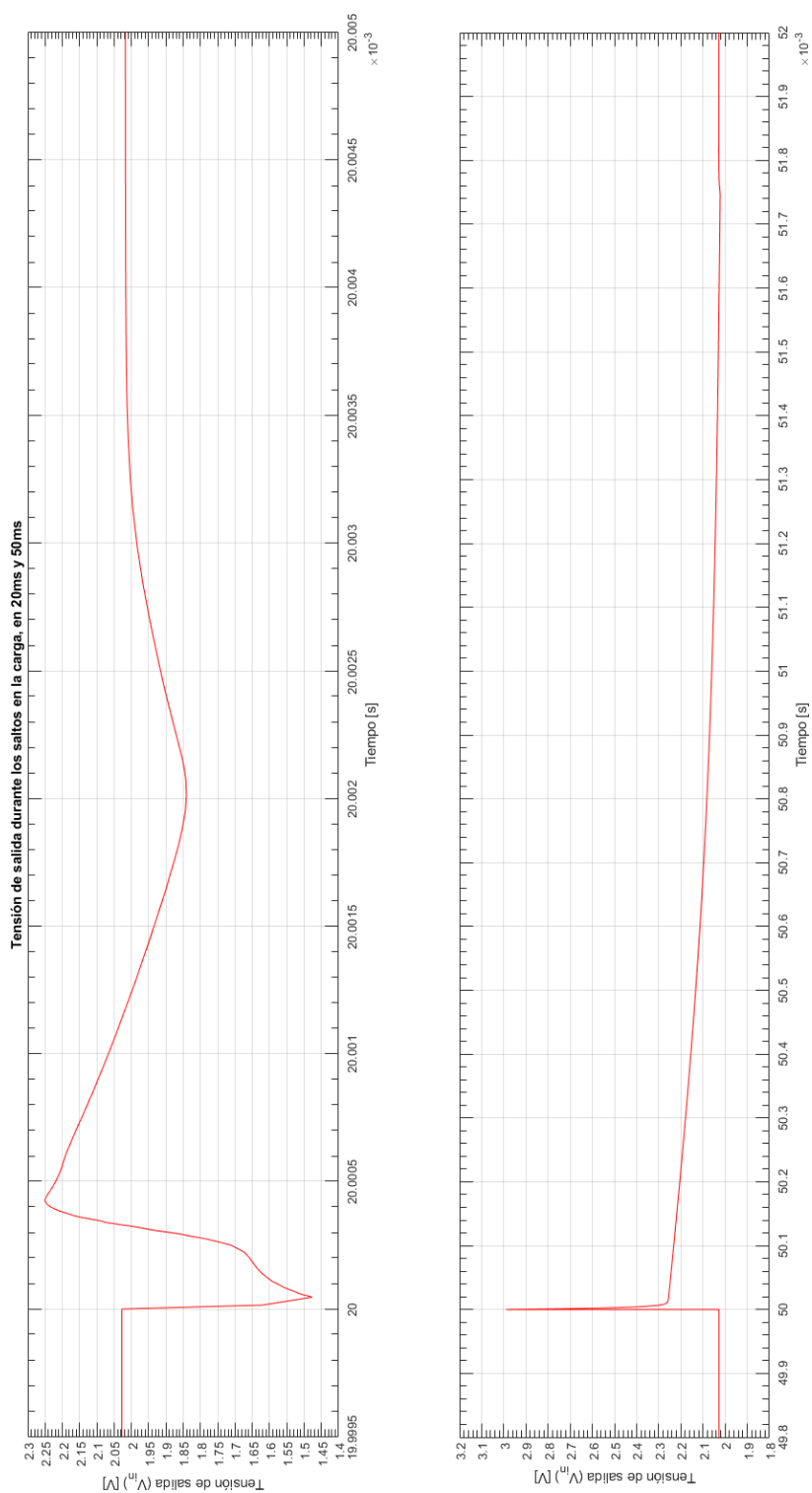
Para lograr la conmutación de la carga se utilizó el circuito mostrado en la figura [8.7], donde se puede ver el modelo de una llave controlada por tensión con resistencia de  $0\Omega$  en estado cerrado y resistencia tendiendo a infinito (valor muy grande) para el estado abierto. El switch es controlado por una onda cuadrada, de tal manera de lograr una carga de 0A al comienzo de la simulación, de 1A ( $R_L = 2\Omega$ ) a los 20ms, y luego nuevamente 0A a los 50ms. La simulación realizada es del tipo transitorio (**SPICE** .tran), la salida de la misma se muestra resaltando el momento de las transiciones en la figura [8.8]. En la figura [8.9] se destaca la diferencia en la tensión de salida en carga respecto a en vacío, esta diferencia permite estimar la resistencia de salida de la fuente de alimentación, el valor obtenido es:

$$R_o = \frac{\Delta V}{\Delta I} = \frac{3.67\text{e-}4\text{V}}{1.0137\text{A}} = 642\mu\Omega \quad (8.1)$$

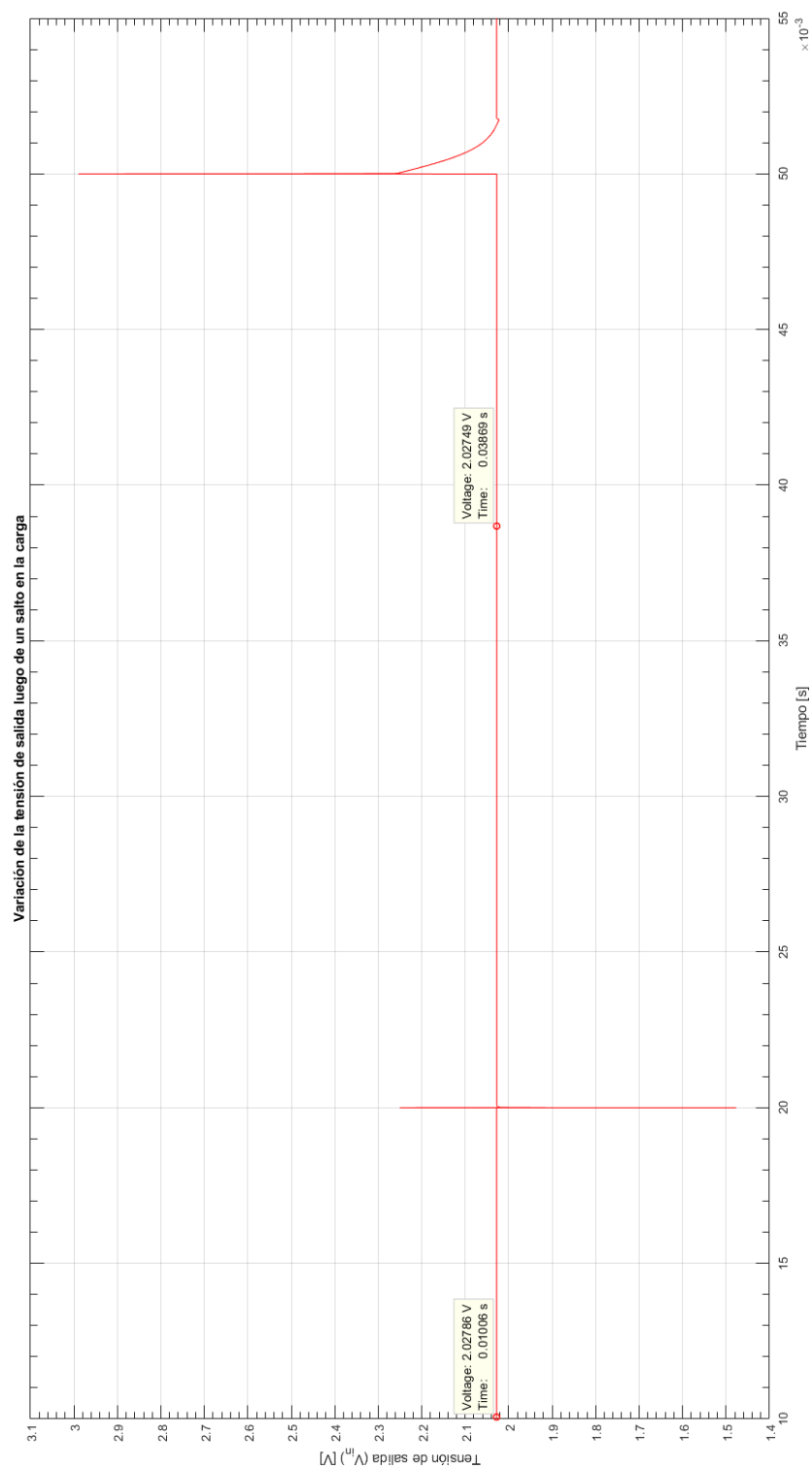
**.model MYSW SW(Ron=1E-10 Roff=1E10 Vt=0.5 Vh=0)**



**Figura 8.7:** Circuito usado para la conmutación de la carga



**Figura 8.8:** Tensión de salida frente a saltos de carga de 0A a 1A y de 1A a 0A.



**Figura 8.9:** Variación de la tensión de salida en los saltos de carga



### 8.17. Punto 17

**Enunciado:** Calcular la eficiencia para  $V_1$  igual a 15V, 20V y 25V.

a) con  $R_L = 10\Omega$ ,  $R_9 = 90k\Omega$  y  $R_{18} = 0\Omega$ .

b) con  $R_L = 1\Omega$ ,  $R_9 = 0\Omega$  y  $R_{18} = 0\Omega$ .

Para calcular la eficiencia de la fuente de alimentación simplemente se aplicó la definición  $\eta = \frac{P_{out}}{P_{in}}$ , el cálculo se realizó en estado estacionario, ignorando el consumo durante los transitorios, los cuales de todas formas, a largo plazo, deben ser despreciables. El cálculo se realizó directamente dentro del **LTSPICE**, utilizando el comando de **SPICE**, `.measure`, este comando permite realizar cálculos utilizando valores de variables simuladas, y luego operar con estos resultados. Realizando una simulación de **SPICE** de punto de operación, `.op`, se realizan las siguientes mediciones:

```
.op

.meas Pin PARAM V(Vin)*(-I(V1))
.meas Pout PARAM V(Vout)*(-I(RL))
.meas Eff PARAM Pout / Pin
```

Los resultados obtenidos para la eficiencia para cada uno de los valores de tensión de entrada para la que se realizó la simulación, se resumen en la tabla [8.1]. Se puede ver claramente como la eficiencia disminuye al aumentar la tensión de entrada, cosa totalmente esperable, ya que, a tensión de salida constante, la tensión en el elemento de paso es cada vez mayor, a la misma corriente de carga, se tiene mayor potencia disipada en el mismo.

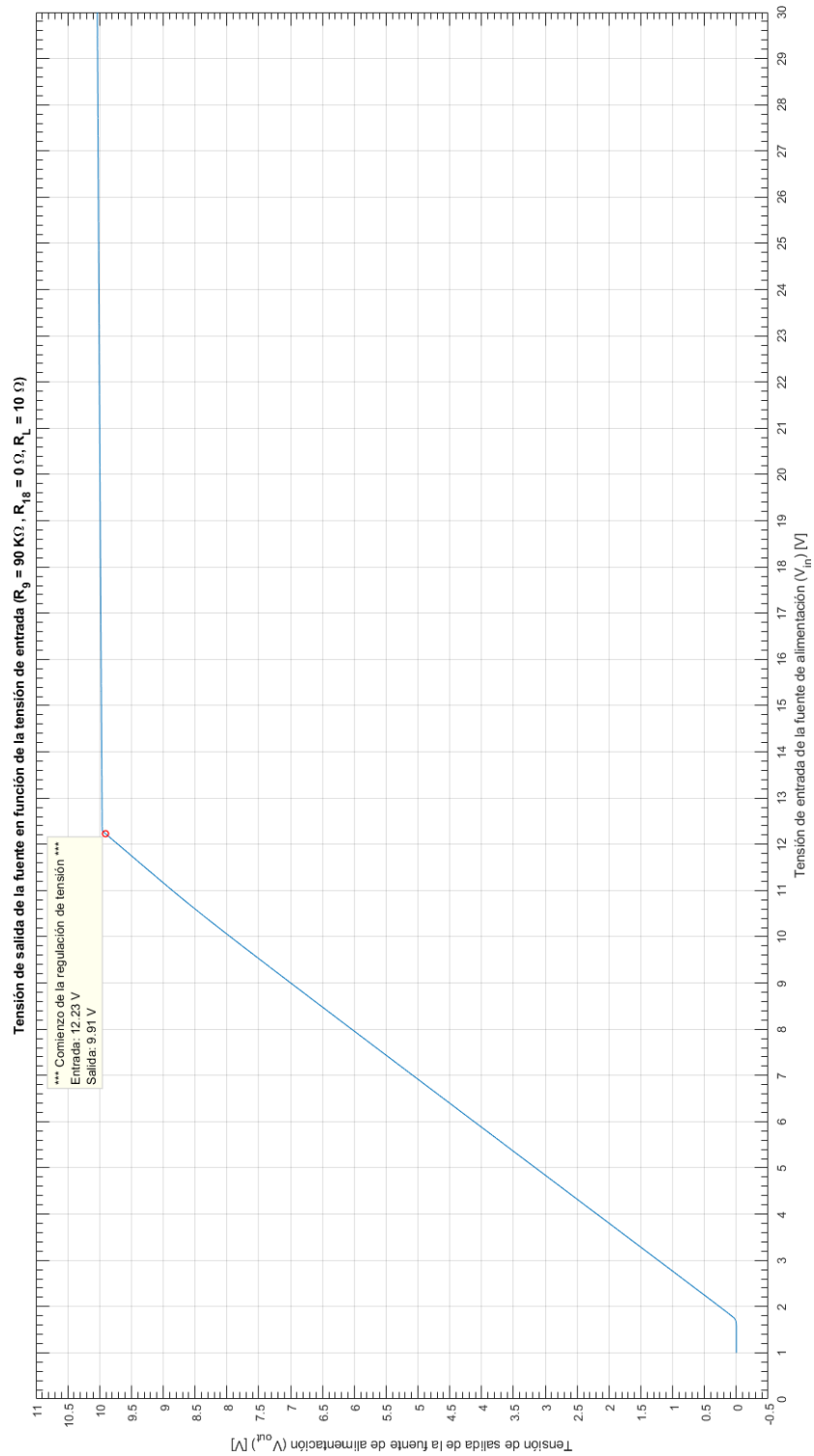
	$V_i = 15V$	$V_i = 20V$	$V_i = 25VV$
$\eta = \frac{P_{out}}{P_{in}}$	0.639	0.480	0.385

**Cuadro 8.1:** Eficiencia en función de la tensión de entrada.

### 8.18. Punto 18

**Enunciado:** ¿Cómo influye en la tensión de salida la variación de la fuente de entrada  $V_1$  (variando de 1V a 30V y con  $R_L = 10\Omega$ ,  $R_9 = 90k\Omega$  y  $R_{18} = 0\Omega$ )?. Simular para graficar la tensión de salida en función de  $V_1$ .

Es de esperarse que la fuente tenga un valor mínimo de tensión de entrada, a partir del cual empieza a regular la salida, para valores menores de tensión que este valor mínimo, la salida será menor a la esperada, en principio, el regulador paralelo para regular a 10V, necesita una tensión de entrada mayor, pero también se deben polarizar correctamente los transistores, y como puede verse en la figura [8.10], el crecimiento de la salida es prácticamente lineal, manteniendo una diferencia de aproximadamente 2,4V a la salida con respecto a la entrada, este valor sería el “drop-out” de esta fuente de alimentación. Tomando que la salida está regulando al llegar a aproximadamente al 1 % de la tensión regulada esperada a la salida, 10V, el valor de tensión de entrada mínimo para salida regulada es de 12,38V. También puede observarse que para tensiones muy pequeñas a la entrada, hasta aproximadamente 1,8V, la tensión a la salida es prácticamente 0V, esto se explica por estar cortado el elemento de paso de la fuente de alimentación, el par compuesto.

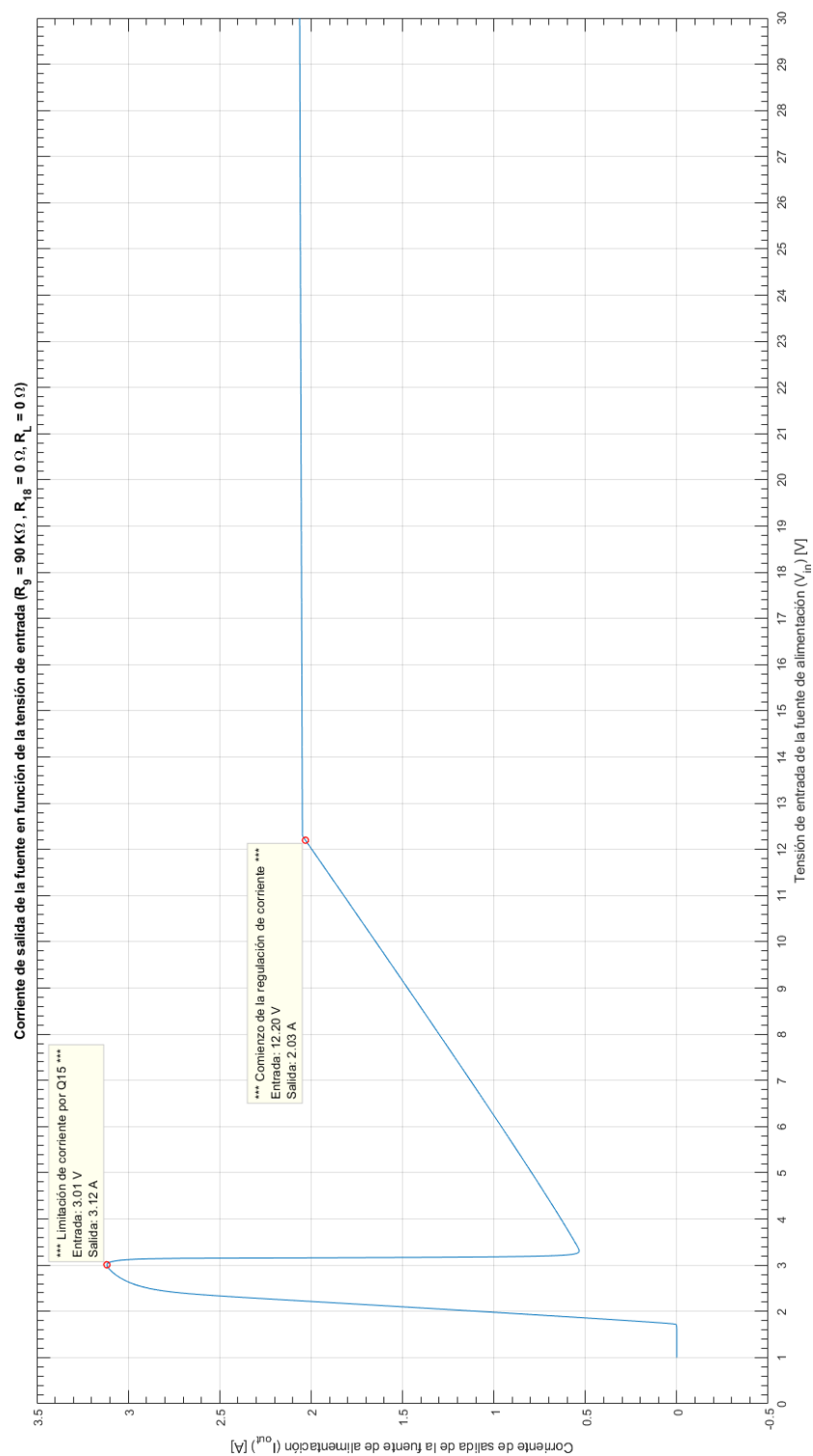


**Figura 8.10:** Tensión de salida vs tensión de entrada.

### 8.19. Punto 19

**Enunciado:** *¿Cómo influye en la corriente de salida la variación de la fuente de entrada  $V_1$  (variando de 1V a 30V y con  $R_L = 0\Omega$ ,  $R_9 = 90k\Omega$  y  $R_{18} = 0\Omega$ ?). Simular para graficar la corriente de salida en función de  $V_1$ .*

De la misma forma que el punto anterior, es de esperarse que la fuente tenga un valor mínimo de tensión de entrada, a partir del cual empieza a regular la salida, para valores menores de tensión que este valor mínimo, la corriente de salida será solo limitada a algún valor menor al esperado, y como puede verse en la figura [8.11], el crecimiento de la salida es prácticamente lineal, salvo que se produce un pico de corriente alrededor de los 3V de entrada, que es limitado por la acción de  $Q_{15}$ , a ese valor de tensión de entrada el lazo de corriente seguramente no actúa de ninguna forma para limitar la corriente de salida. Tomando que la salida está regulando al llegar a aproximadamente al 1 % de la corriente regulada esperada a la salida, 2,05A, el valor de tensión de entrada mínimo para salida regulada es de 12,19V, valor muy cercano al del punto anterior. También puede observarse que para tensiones muy pequeñas a la entrada, aproximadamente 1,8V, la corriente a la salida es prácticamente 0A, esto se explica por la misma razón que en el punto anterior.



**Figura 8.11:** Tensión de salida vs tensión de entrada.

## 8.20. Punto 20

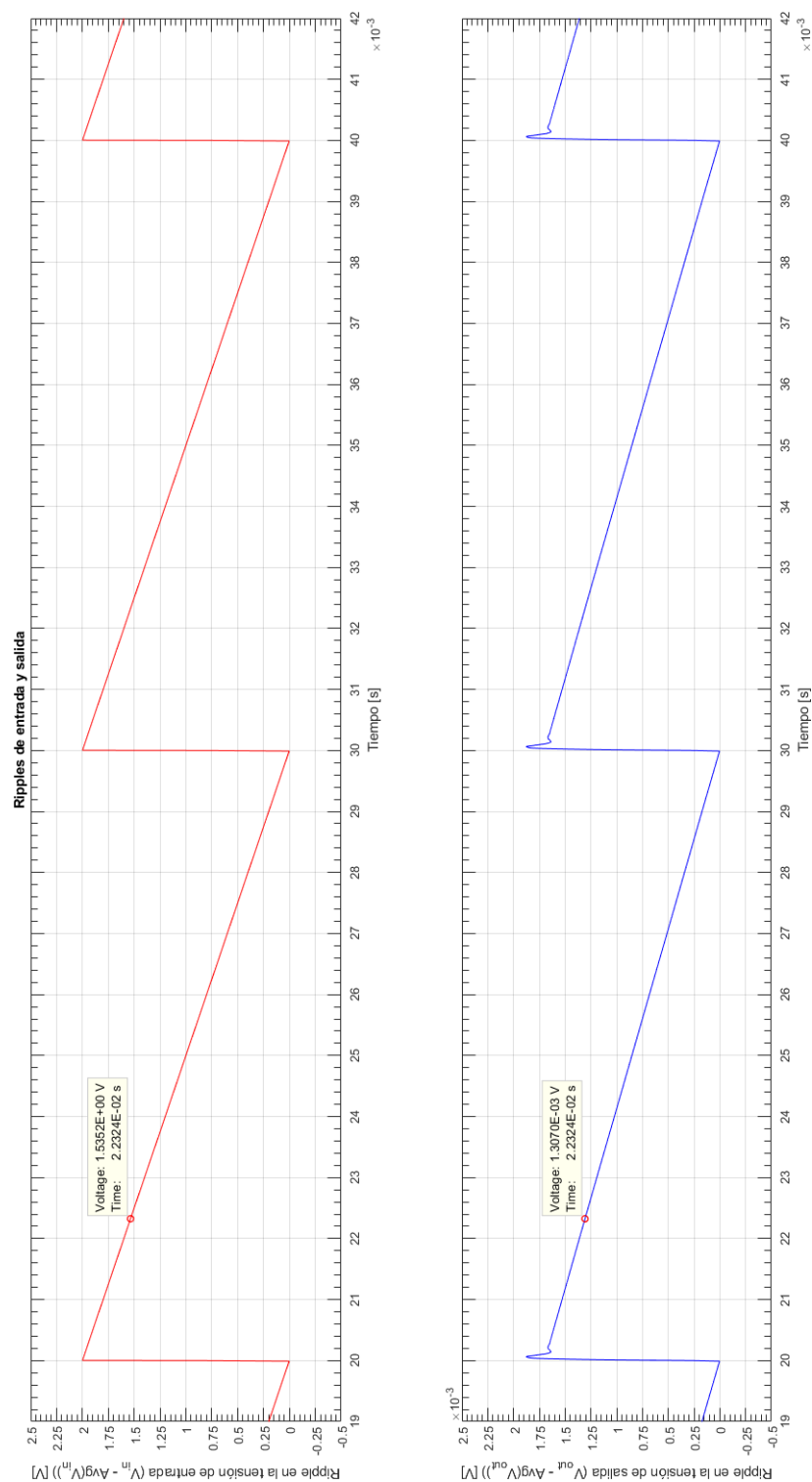
**Enunciado:** *Determinar el rechazo de ruido, o sea, ¿Cuántos decibels de diferencia se miden comparando un ruido presente en la tensión de entrada  $V_1$  respecto del residuo de ese ruido en la tensión de salida. Debe intentarse no considerar el ruido propio de la fuente. **NOTA:** el ruido podría ser por ejemplo el rizado resultante de una rectificación y filtrado.*

Para ver el rechazo de ruido que presenta la fuente de alimentación, sumamos a la tensión de entrada una señal en forma de diente de sierra descendente de 100Hz, ya que la sugerencia era que el ruido podría provenir del rizado resultante de una rectificación y filtrado. Se utilizó una señal de 2V de amplitud para poder apreciar bien la amplitud de la señal en la salida. Se graficó la entrada y la salida restándole la tensión continua de base, 20V a la entrada y el valor mínimo a la salida, alrededor de 2V, se utilizó un script de **MATLAB** para restar los valores adecuados, hacer los cálculos y producir los gráficos a partir de los datos exportados del **LTSPICE**. En la figura [8.12], se muestra lo obtenido, mostrando simultáneamente 2 ciclos del rizado de entrada y salida. Como se observa en la figura, la salida presenta un cierto tiempo de crecimiento debido al ancho de banda limitado del amplificador de la fuente, y presenta además un pequeño pico en la discontinuidad, el mismo se debe al tipo de compensación del circuito, tema que veremos en la siguiente parte del trabajo práctico. Si se mide el rechazo de ruido simplemente como el cociente de valor RMS de la señal de salida respecto de la entrada obtenemos:

$$R_{nr} = 59,49\text{dB} \quad (8.2)$$

Sin embargo se pedía intentar no considerar el ruido propio de la fuente, entonces lo que se hizo fue, extrapolar la amplitud máxima de la señal de rizado a la salida, ignorando el sobre-pico y el tiempo de crecimiento, midiendo su amplitud cerca de la mitad de la amplitud máxima de la señal de entrada, calculado así, obtuvimos:

$$R_{nr} = 61,41\text{dB} \quad (8.3)$$



**Figura 8.12:** Rizado de entrada y salida.

**8.21. Punto 21**

Modificar el circuito de la fuente reemplazando en parte o totalmente el amplificador por el regulador integrado *LM723* y evaluar el comportamiento del nuevo diseño comparándolo con el original.



## **9. Observaciones y conclusiones**

### **9.1. Observaciones y conclusiones**



## 10. Bibliografía

### Referencias

- [1] *Analysis and Design of Analog Integrated Circuits (3<sup>rd</sup> Edition)*  
Author: Paul R. Gray  
Author: Robert G. Meyer  
Publisher: John Wiley & Sons, Inc.; 3<sup>rd</sup> Edition (January 15, 1993)  
Copyright: © 1993, John Wiley & Sons, Inc.  
ISBN 10: 0471574953  
Website: [Analysis and Design of Analog Integrated Circuits \(3<sup>rd</sup> Edition\)](#)
- [2] *Analysis and Design of Analog Integrated Circuits (4<sup>th</sup> Edition)*  
Author: Paul R. Gray  
Author: Paul J. Hurst  
Author: Stephen H. Lewis  
Author: Robert G. Meyer  
Publisher: John Wiley & Sons, Inc.; 4<sup>th</sup> Edition (2001)  
Copyright: © 2001, John Wiley & Sons, Inc.  
ISBN 10: 0471321680  
ISBN 13: 9780471321682  
Website: [Analysis and Design of Analog Integrated Circuits \(4<sup>th</sup> Edition\)](#)
- [3] *Analysis and Design of Analog Integrated Circuits (5<sup>th</sup> Edition)*  
Author: Paul R. Gray  
Author: Paul J. Hurst  
Author: Stephen H. Lewis  
Author: Robert G. Meyer  
Publisher: John Wiley & Sons, Inc.; 5<sup>th</sup> Edition (2009)  
Copyright: © 2001, John Wiley & Sons, Inc.  
ISBN 10: 0470245999  
ISBN 13: 9780470245996  
Website: [Analysis and Design of Analog Integrated Circuits \(5<sup>th</sup> Edition\)](#)

- [4] *Circuitos microelectrónicos (4<sup>ta</sup> Edición) español*  
Author: Adel. S. Sedra  
Author: Kenneth C. Smith  
Publisher: Oxford, University press; 4<sup>ta</sup> Edición (2001)  
Copyright: © 1999, Oxford, University press México.  
Original Copyright: © 1998, 1991, 1987, 1982, Oxford, University press Inc.  
ISBN 10: 01951166310  
Website: [Circuitos microelectrónicos \(4<sup>ta</sup> Edición\) español](#)
- [5] *Microelectronic circuits (5<sup>th</sup> Edition)*  
Author: Adel. S. Sedra  
Author: Kenneth C. Smith  
Publisher: Oxford, University press; 5<sup>th</sup> Edition (2004)  
Copyright: © 2004, 1998, 1991, 1987, 1982, Oxford, University press Inc.  
ISBN 10: 0195142527  
Website: [Microelectronic circuits \(5<sup>th</sup> Edition\)](#)

# Apéndices

## A. Análisis teórico de subcircuitos

### A.1. Amplificadores con operacionales

#### A.1.1. Amplificador no inversor

#### A.1.2. Amplificador inversor

#### A.1.3. Amplificador diferencial

**A.2. Par compuesto (Sziklai)**

### **A.3. Llave electrónica transparente**





## B. Hojas de datos

### B.1. TL431

***TL431****Adjustable precision shunt regulator*Manufacturer page: <http://www.ti.com/product/TL431>Manufacturer Datasheet: <http://www.ti.com/lit/gpn/tl431>

### B.2. TL082

***TL082****Dual High Slew Rate JFET-Input Operational Amplifier*Manufacturer page: <http://www.ti.com/product/TL082?keyMatch=TL082>Manufacturer Datasheet: <http://www.ti.com/lit/gpn/tl082>

